

# Das Chaospendel-Skript

von Dr. rer. nat. Andreas Ernst

Version 05/2021

## 1 Einführung

Abbildung 1 zeigt eine Skizze des chaotischen Pendels. Am Aufhängungsbalken ist über ein Kugellager eine masselose drehbare Stange der Länge  $2r$  mittig aufgehängt. An dessen Enden befinden sich wiederum Kugellager, an denen masselose Stangen der Länge  $l$  rotieren können. Am anderen Ende der Stangen befindet sich jeweils ein Gewicht der Masse  $m$ . Für die Herleitung der Bewegungsgleichungen werden die folgenden Vektoridentitäten verwendet:

$$(\vec{a} + \vec{b})^2 = |\vec{a}|^2 + 2\vec{a} \cdot \vec{b} + |\vec{b}|^2 \quad (1)$$

$$(\vec{a} \times \vec{b}) \cdot (\vec{c} \times \vec{d}) = (\vec{a} \cdot \vec{c})(\vec{b} \cdot \vec{d}) - (\vec{b} \cdot \vec{c})(\vec{a} \cdot \vec{d}) \quad (2)$$

$$(\vec{a} \times \vec{b})^2 = |\vec{a}|^2|\vec{b}|^2 - (\vec{a} \cdot \vec{b})^2 \quad (3)$$

Die Gliederung der Broschüre ist wie folgt: In Abschnitt 2 wird ein Ausdruck für die kinetische Energie hergeleitet. In Abschnitt 3 wird ein Ausdruck für die potentielle Energie hergeleitet. In Abschnitt 4 werden die Bewegungsgleichungen mit Hilfe des Lagrangeformalismus aufgestellt. In Abschnitt 5 werden Hinweise zur numerischen Lösung des aus drei Bewegungsgleichungen bestehenden Systems gegeben. In Abschnitt 6 werden Schlussfolgerungen diskutiert.

## 2 Kinetische Energie

Die kinetische Energie der beiden Massen ist gegeben durch

$$T = \frac{1}{2}m(\vec{v}_1^2 + \vec{v}_2^2), \quad (4)$$

wobei  $\vec{v}_1$  und  $\vec{v}_2$  die Geschwindigkeiten der beiden Massenpunkte in kartesischen Koordinaten sind. Wir definieren die vektoriellen Winkelgeschwindigkeiten

$$\dot{\vec{\alpha}} = \begin{pmatrix} 0 \\ 0 \\ \dot{\alpha} \end{pmatrix}, \quad \dot{\vec{\beta}}_{1/2} = \begin{pmatrix} 0 \\ 0 \\ \dot{\beta}_{1/2} \end{pmatrix}. \quad (5)$$

Dann gilt

$$\vec{v}_1^2 = \left( \dot{\vec{\alpha}} \times \vec{r} + \dot{\vec{\beta}}_1 \times \vec{l} \right)^2 \quad (6)$$

$$= (\dot{\vec{\alpha}} \times \vec{r})^2 + 2(\dot{\vec{\alpha}} \times \vec{r}) \cdot (\dot{\vec{\beta}}_1 \times \vec{l}) + (\dot{\vec{\beta}}_1 \times \vec{l})^2 \quad (7)$$

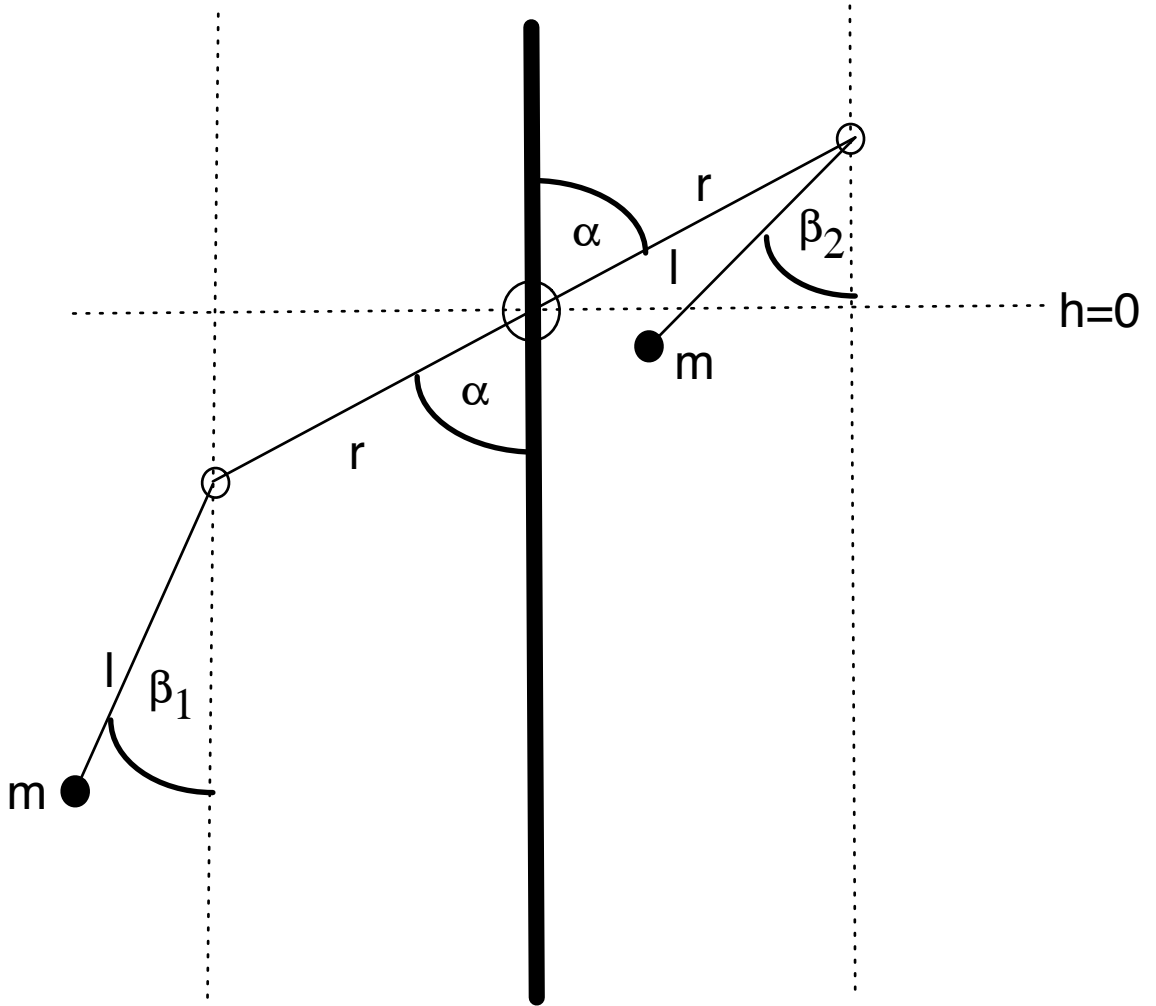


Abbildung 1: Skizze des chaotischen Pendels.

$$= \dot{\alpha}^2 r^2 - \underbrace{(\vec{\alpha} \cdot \vec{r})^2}_{=0} + \dot{\beta}_1^2 l^2 - \underbrace{(\vec{\beta}_1 \cdot \vec{l})^2}_{=0} + 2 \underbrace{(\vec{\alpha} \cdot \vec{\beta}_1)}_{\dot{\alpha}\dot{\beta}_1} = rl \cos[\pi/2 - (\alpha - \beta_1)] \quad (8)$$

$$= \dot{\alpha}^2 r^2 + \dot{\beta}_1^2 l^2 + 2rl\dot{\alpha}\dot{\beta}_1 \sin(\alpha - \beta_1) \quad (9)$$

$$\vec{v}_2^2 = \dot{\alpha}^2 r^2 + \dot{\beta}_2^2 l^2 + 2rl\dot{\alpha}\dot{\beta}_2 \sin(\alpha - \beta_2) \quad (10)$$

und wir erhalten die kinetische Energie

$$T = m\dot{\alpha}^2 r^2 + \frac{1}{2}m(\dot{\beta}_1^2 + \dot{\beta}_2^2)l^2 + mrl\dot{\alpha} [\dot{\beta}_1 \sin(\alpha - \beta_1) + \dot{\beta}_2 \sin(\alpha - \beta_2)]. \quad (11)$$

### 3 Potentielle Energie

Wir können den Nullpunkt des Gravitationspotentials beliebig wählen. Am einfachsten ist es, die Höhe des großen Kugellagers in der Skizze als Nullpunkt des Potentials zu wählen.

Wenn sich alle Stangen in waagrechter Lage befinden, verschwindet die potentielle Energie identisch. Die potentielle Energie der beiden Massen ist gegeben durch

$$V = mg(h_1 + h_2) \quad (12)$$

wobei  $g$  die Erdbeschleunigung ist und  $h_1$  und  $h_2$  die beiden Höhen über (oder unter) dem Nullpunkt des Potentials ( $h = 0$ ). Für die Höhen gilt

$$h_1 = -r \cos \alpha - l \cos \beta_1 \quad (13)$$

$$h_2 = r \cos \alpha - l \cos \beta_2. \quad (14)$$

Somit hängt die potentielle Energie nicht von  $\alpha$  ab und ist gegeben durch

$$V = -mgl(\cos \beta_1 + \cos \beta_2) \quad (15)$$

## 4 Bewegungsgleichungen

Die spezifische Lagrangefunktion des Systems ist folglich gegeben durch

$$L = (T - V)/m \quad (16)$$

$$\begin{aligned} &= \dot{\alpha}^2 r^2 + \frac{1}{2}(\dot{\beta}_1^2 + \dot{\beta}_2^2)l^2 + rl\dot{\alpha} [\dot{\beta}_1 \sin(\alpha - \beta_1) + \dot{\beta}_2 \sin(\alpha - \beta_2)] \\ &\quad + gl(\cos \beta_1 + \cos \beta_2) \end{aligned} \quad (17)$$

Die aus der Variationsrechnung folgende Lagrange-Gleichung für die generalisierte Koordinate  $q$  lautet allgemein

$$\frac{d}{dt} \frac{\partial L}{\partial \dot{q}} - \frac{\partial L}{\partial q} = 0. \quad (18)$$

Einsetzen von (17) und den drei Winkeln  $\alpha, \beta_1$  und  $\beta_2$  liefert drei Bewegungsgleichungen 2. Ordnung:

$$\ddot{\alpha} + \frac{l}{2r} [\ddot{\beta}_1 \sin(\alpha - \beta_1) - \dot{\beta}_1^2 \cos(\alpha - \beta_1) + \ddot{\beta}_2 \sin(\alpha - \beta_2) - \dot{\beta}_2^2 \cos(\alpha - \beta_2)] = 0 \quad (19)$$

$$\ddot{\beta}_1 + \frac{r}{l} [\ddot{\alpha} \sin(\alpha - \beta_1) + \dot{\alpha} \dot{\beta}_1 \cos(\alpha - \beta_1)] + gl \sin \beta_1 = 0 \quad (20)$$

$$\ddot{\beta}_2 + \frac{r}{l} [\ddot{\alpha} \sin(\alpha - \beta_2) + \dot{\alpha} \dot{\beta}_2 \cos(\alpha - \beta_2)] + gl \sin \beta_2 = 0. \quad (21)$$

## 5 Numerische Lösung

Für eine numerische Lösung der Bewegungsgleichungen (19)-(21) kann das in den nachfolgenden Listings 1-5 angegebene Runge-Kutta-Integrationsprogramm 8. Ordnung verwendet werden.

```
g++ rk8p.C -o rk8p  
.rk8p 0.0001 100.0 0.01 > out
```

Nach Ausführen des Integrationsprogramms kann die Lösung mit zwei in den Listings 6 und 7 angegebenen gnuplot-Skripten grafisch visualisiert werden. Hierzu muss zunächst das Programm gnuplot auf dem Rechner installiert werden.

```
gnuplot  
gnuplot> load "anim.gnu"
```

## 6 Schlussfolgerungen

Aufgrund der Nichtlinearität der Bewegungsgleichungen kann es zu überraschenden Effekten kommen. Im Vergleich zum einfachen Fadenpendel kann zwischen den drei Rotationsfreiheitsgraden des chaotischen Pendels Energie übertragen werden, wobei die Winkelgeschwindigkeit eines einzelnen kugelgelagerten Pendels massiv wachsen kann. Dies geschieht hochgradig in der Nähe von Resonanzen. Je näher sich das System an einer Resonanz befindet, umso mehr Energie kann von einem auf ein anderes der kugelgelagerten Pendel übertragen werden. Mathematisch können die Resonanzen mit Hilfe von Poincaréschnitten im Phasenraum detektiert werden.

© 2021 Fraktalikum Druck & Verlag Dr. rer. nat. Andreas Ernst, Heidelberg, Deutschland

```

1 //_____
2 // rk8p.C
3 // Code: Runge-Kutta-Integrator 8. Ordnung
4 // mit konstanten Zeitschritten fuer die Bewegungs-
5 // gleichungen des chaotischen Pendels
6 // Autor: Andreas Ernst
7 //_____
8
9 #include <iostream>
10 #include <cmath>
11 #include <cstdlib>
12 using namespace std;
13
14 const double A1 = 10.0;
15 const double B1 = 5.0;
16 const double B2 = 5.0;
17 const double a1 = 10.0;
18 const double b1 = 5.0;
19 const double b2 = 5.0;
20 const double l = 10.0;
21 const double r = 10.0;
22 const double g = 9.81;
23
24 // Werte Vektorfunktion aus
25
26 void F(double m[] , double in [] [6] , double out [] [6] , int n) {
27     int i , j , k;
28     double tmp0 , tmp1 , tmp2;
29
30 // Berechne Beschleunigungen
31
32     double (* a )[3] = new double[n][3];
33     for ( i=0; i<n ; i++) {
34         tmp0 = a[ i ][ 0 ];
35         tmp1 = a[ i ][ 1 ];
36         tmp2 = a[ i ][ 2 ];
37         a[ i ][ 0 ] = -(1/2/r)*(tmp1*sin( a1-b1 ) - B1*B1*cos( a1-b1 )
38                             + tmp2*sin( a1-b2 ) - b2*b2*cos( a1-b2 ));
39         a[ i ][ 1 ] = -(r/1)*(tmp0*sin( a1-b1 ) + A1*B1*cos( a1-b1 ))
40                             - g*l*sin( b1 );
41         a[ i ][ 2 ] = -(r/1)*(tmp0*sin( a1-b2 ) + A1*B2*cos( a1-b2 ))
42                             - g*l*sin( b2 );
43     }

```

Listing 1: C++ code `rk8p.C` des chaotischen Pendels

```

44 // Return output vector
45
46 for ( i=0; i<n ; i++ ) {
47     for ( k=0; k<3; k++ ) {
48         out [ i ] [ k ] = in [ i ] [ k+3 ];
49         out [ i ] [ k+3] = a[ i ] [ k ];
50     }
51 }
52
53 }
54
55 int main( int argc , char *argv [] ) {
56
57 // Lese Anfangsbedingungen von stdin; Deklaration der Variablen
58
59 int i , j , k;
60
61 if ( argc < 3 ) {
62     cout << "Usage: rk8p <dt><t_end><dt_opt>" << endl ;
63     return 0;
64 }
65
66 double dt = atof(argv [1]); // time step
67 double t_end = atof(argv [2]);
68 double dt_opt = atof(argv [3]);
69 double t_opt = 0.001;
70
71 const int n = 1;
72
73 double * m = new double [n];
74 double (* Y)[6] = new double [n][6];
75 double (* k0 )[6] = new double [n][6];
76 double (* k1 )[6] = new double [n][6];
77 double (* k2 )[6] = new double [n][6];
78 double (* k3 )[6] = new double [n][6];
79 double (* k4 )[6] = new double [n][6];
80 double (* k5 )[6] = new double [n][6];
81 double (* k6 )[6] = new double [n][6];
82 double (* k7 )[6] = new double [n][6];
83 double (* help )[6] = new double [n][6];
84
85 double dt_out = dt_opt;
86 double t_out = dt_out;
87
88 Y[0][0] = 1.0;
89 Y[0][1] = 1.0;
90 Y[0][2] = 1.0;
91 Y[0][3] = 0.5;
92 Y[0][4] = 0.5;
93 Y[0][5] = -0.5;

```

```

94 // Integrations schleife
95
96 for (double t = 0; t < t_end; t += dt) {
97
98     F(m, Y, k0, n);
99
100    for (i=0; i<n; i++) for (k=0; k<6; k++) {
101        help[i][k] = Y[i][k] + dt*k0[i][k]/6;
102    }
103
104    F(m, help, k1, n);
105
106    for (i=0; i<n; i++) for (k=0; k<6; k++) {
107        help[i][k] = Y[i][k] + dt*(k0[i][k]*4/75 + k1[i][k]*16/75);
108    }
109
110    F(m, help, k2, n);
111
112    for (i=0; i<n; i++) for (k=0; k<6; k++) {
113        help[i][k] = Y[i][k] + dt*(k0[i][k]*5/6 - k1[i][k]*8/3
114                                + k2[i][k]*5/2);
115    }
116
117    F(m, help, k3, n);
118
119    for (i=0; i<n; i++) for (k=0; k<6; k++) {
120        help[i][k] = Y[i][k] + dt*(-k0[i][k]*8/5 + k1[i][k]*144/25
121                                -k2[i][k]*4
+ k3[i][k]*16/25);
122    }
123
124    F(m, help, k4, n);
125
126    for (i=0; i<n; i++) for (k=0; k<6; k++) {
127        help[i][k] = Y[i][k] + dt*(k0[i][k]*361/320 - k1[i][k]*18/5
128                                +k2[i][k]*407/128 - k3[i][k]*11/80
129                                +k4[i][k]*55/128);
130    }
131
132    F(m, help, k5, n);

```

Listing 3: C++ code `rk8p.C` des chaotischen Pendels

```

133   for ( i=0; i<n; i++) for (k=0; k<6; k++) {
134     help [ i ] [ k ] = Y[ i ] [ k ] + dt*(-k0 [ i ] [ k ]*11/640
135                                         +k2 [ i ] [ k ]*11/256
136                                         -k3 [ i ] [ k ]*11/160
137                                         +k4 [ i ] [ k ]*11/256);
138   }
139
140   F(m, help , k6 , n );
141
142   for ( i=0; i<n; i++) for (k=0; k<6; k++) {
143     help [ i ] [ k ] = Y[ i ] [ k ] + dt*(k0 [ i ] [ k ]*93/640 - k1 [ i ] [ k ]*18/5
144                                         +k2 [ i ] [ k ]*803/256
145                                         - k3 [ i ] [ k ]*11/160
146                                         +k4 [ i ] [ k ]*99/256 + k6 [ i ] [ k ] );
147   }
148
149   F(m, help , k7 , n );
150
151 // Integrationsschritt
152
153   for ( i=0; i<n; i++) for (k=0; k<6; k++) {
154     Y[ i ] [ k ] += dt*(k0 [ i ] [ k ]*7/1408 + k2 [ i ] [ k ]*1125/2816
155                                         +k3 [ i ] [ k ]*9/32 +k4 [ i ] [ k ]*125/768
156                                         +k6 [ i ] [ k ]*5/66 + k7 [ i ] [ k ]*5/66);
157   }
158
159 // Datenausgabe
160
161   if ( t >= t_out ) {
162     cout << "DATA: " ;
163     cout << t << " " ;
164     for ( int i = 0; i < n; i++) {
165       cout << -r*sin(Y[0][0]) << " "
166                                         << r*sin(Y[0][0]) << " "
167                                         << -r*cos(Y[0][0]) << " "
168                                         << r*cos(Y[0][0]) << " "
169                                         << -r*sin(Y[0][0]) -l*sin(Y[0][1]) << " "
170                                         << r*sin(Y[0][0]) -l*sin(Y[0][2]) << " "
171                                         << -r*cos(Y[0][0]) -l*cos(Y[0][1]) << " "
172                                         << r*cos(Y[0][0]) -l*cos(Y[0][2]);
173   }
174   cout << endl;
175   t_out += dt_out;
176 }
177 }
```

Listing 4: C++ code rk8p.C des chaotischen Pendels

```

178 delete [] m;
179 delete [] Y;
180 delete [] k0 ;
181 delete [] k1 ;
182 delete [] k2 ;
183 delete [] k3 ;
184 delete [] k4 ;
185 delete [] k5 ;
186 delete [] k6 ;
187 delete [] k7 ;
188 delete [] help ;
189
190 return 0;
191
192 //-----
193 }
```

Listing 5: C++ code `rk8p.C` des chaotischen Pendels

```

1 set nokey
2 set pointsize 3
3 set xrange [-30:30]
4 set yrange [-30:30]
5 n=1
6 c=0.001
7 load 'loop.gnu'
```

Listing 6: Gnuplot code `anim.gnu` für die Visualisierung des chaotischen Pendels

```

1 plot 'out' ev ::n::n u 3:5 lt 3 pt 7,\ 
2      'out' ev ::n::n u 4:6 lt 4 pt 7,\ 
3      'out' ev ::n::n u 7:9 lt 3 pt 7,\ 
4      'out' ev ::n::n u 8:10 lt 4 pt 7,\ 
5      'out' ev ::n::n u 3:5:(\$4-\$3):(\$6-\$5) with vectors lt -1,\ 
6      'out' ev ::n::n u 3:5:(\$7-\$3):(\$9-\$5) with vectors lt -1,\ 
7      'out' ev ::n::n u 4:6:(\$8-\$4):(\$10-\$6) with vectors lt -1
8 print "Step ",n+1
9 pause c
10 n=n+1;
11 reread
```

Listing 7: Gnuplot code `loop.gnu` für die Visualisierung des chaotischen Pendels